

دراسة المتغيرات السنوية التالية للإرجاع الوحشي للأرحة العلوية باستخدام جهاز البندول المدعوم بالزرريات

لمعة الشققي *

د. طارق خطاب **

(الإيداع: 14 كانون الأول 2021، القبول: 14 آذار 2022)

الملخص

يهدف البحث إلى تقييم فعالية جهاز البندول المدعوم بالزرريات في الإرجاع الوحشي للأرحة العلوية ودراسة التأثيرات السنوية الناجمة عن المعالجة باستخدام هذا الجهاز. تم تطبيق جهاز Pendulum المدعوم بزرريتين حنكيتين لدى عينة مُؤلفة من (15) مريضاً لديهم سوء إطباق من الصنف الثاني وتراوحت أعمارهم بين (13-15) سنة. تم الإرجاع الوحشي للأرحة العلوية باستخدام الجهاز المذكور حتى الحصول على علاقة رحوية من الصنف الأول مع تصحيح زائد بمقدار (1-2) ملم. تم إجراء الصور الشعاعية السيفالومترية الجانبية لكل أفراد العينة باستخدام جهاز Carestream, CS 9300, France) ، ثم درست المتغيرات السنوية التالية للإرجاع الوحشي للأرحة العلوية باستخدام جهاز Pendulum المدعوم بالزرريات بواسطة برنامج (CS Imaging Software, 7.0.23.2D). أدى استخدام جهاز Pendulum المدعوم بالزرريات إلى حدوث حركة وحشية للأرحة الأولى والثانية العلوية بمقدار (4.67) ملم و (4.27) ملم على الترتيب، ترافقت حركة الإرجاع الوحشي للأرحة العلوية مع إمالة وحشية بمقدار (9) درجة بالنسبة للأرحة الأولى و (9.65) درجة بالنسبة للأرحة الثانية، أيضاً أدى استخدام الجهاز المذكور إلى حدوث حركة وحشية مع إمالة وحشية بسيطة بالنسبة للضواحك الأولى والثانية العلوية، حيث تحركت الضواحك الأولى وحشياً بمقدار (2.11) ملم ومالت وحشياً بمقدار (2.91) درجة، كما تحركت الضواحك الثانية وحشياً بمقدار (2.61) ملم ومالت وحشياً بمقدار (4.51) درجة، بينما لوحظ حركة أنسية بمقدار 0.31 ملم مع إمالة أنسية بسيطة بمقدار (0.29) درجة على مستوى القواطع العلوية تالية للإرجاع الوحشي للأرحة العلوية باستخدام جهاز Pendulum المدعوم بالزرريات. أثبتت نتائج الدراسة الحالية فعالية جهاز pendulum المدعوم بالزرريات في إرجاع الأرحة الأولى العلوية وحشياً وتصحيح علاقة الصنف الثاني السنوي السني بالرغم من وجود الأرحة الثانية العلوية مكتملة البزوغ، أيضاً أثبتت الدراسة حدوث حركة وحشية للضواحك الأولى والثانية العلوية وبالتالي عدم حدوث خسارة في الدعم أثناء الإرجاع الوحشي للأرحة العلوية باستخدام الجهاز المذكور.

الكلمات المفتاحية: جهاز البندول . الدعم . الزريات الحنكية . الإرجاع الوحشي للأرحة العلوية.

*طالبة دراسات عليا . قسم تقويم الأسنان والفكين . كلية طب الأسنان . جامعة حماه

**مدرس في قسم تقويم الأسنان والفكين . كلية طب الأسنان . جامعة حماه

Study of Dentoalveolar Variables Following Upper Molars Distalization Using Pendulum Appliance Anchored with Mini Implants in Upper Molars Distalization

Lamah Alshakaki*

Dr. Tarek Khattab**

(Received: 14 December 2021, Accepted: 14 March 2022)

Abstract

The aim of the research is to evaluate the effectiveness of Pendulum appliance anchored with mini implants in upper molars distalization and to study the dentoalveolar effects induced by treatment with this device. Pendulum appliance anchored with two palatal mini implants was applied to a sample of (15) patients with class II malocclusion, their ages ranged between (13-15) years. Upper molars distalization was done using the mentioned appliance until a class I molar relationships was obtained with an overcorrection of (1-2) mm. Lateral cephalometric radiographs were performed for all sample members using a (Carestream, CS 9300, France) device, then the dentoalveolar variables following upper molars distalization using Pendulum appliance anchored with mini implants were studied by a (CS Imaging Software, 7.0.23.2D). The use of Pendulum appliance anchored with mini implants resulted in distalization motion of the first and second upper molars of (4.67) mm and (4.27) mm respectively, upper molars distalization motion was associated with a tipping distally of (9) $^{\circ}$ degrees for the first molars and (9.65) $^{\circ}$ degrees for the second molars, also the use of the mentioned appliance resulted in distalization motion with slight tipping distally for the first and second upper premolars, whereas the first premolars moved distally by (2.11) mm and tipped distally by (2.91) $^{\circ}$ degrees, the second premolars moved distally by (2.61) mm and tipped distally (4.51) $^{\circ}$ degrees, while mesial motion of (0.31) mm with slight tipping mesially of (0.29) $^{\circ}$ degrees was observed at the level of the upper incisors following the upper molars distalization using Pendulum appliance anchored with mini implants. The results of the current study demonstrated the effectiveness of Pendulum appliance anchored with mini implants in returning upper first molars distally and correcting the relationship of dentoalveolar class II despite the presence of fully erupted upper second molars, also the study demonstrated the occurrence of distalization motion of the first and second premolars, and thus no loss of anchorage during upper molars distalization using the mentioned appliance.

Key words: Pendulum Appliance – Anchorage – Palatal Mini Implants – Upper Molars Distalization.

* Postgraduate Student (master degree)–Department of Orthodontics–Faculty of Dentistry– Hama University.

** Assistant Professor in The Department of Orthodontics–Faculty of Dentistry–Hama University.

1. المقدمة: Introduction

أحد أهم أهداف المعالجة التقويمية تصحيح العلاقة الروحية الأمامية الخلفية والأسنان الجانبية وتأسيس علاقة إطباقية طبيعية من الصنف الأول (Proffit et al., 2007)، يتميز الصنف الثاني من سوء الإطباق حسب تعريف أنجل Angle بالعلاقة الإطباقية الوحشية التي تنتظار سريرياً بوضعيّة متراجعة للرحي الأولى السفلية مقارنة مع وضعيتها الطبيعية (المميزة للصنف الأول أو الإطباق الحيادي) بالنسبة للرحي الأولى العلوية (Proffit et al., 2007).

يمكن تصحيح العلاقة الروحية من الصنف الثاني دون اللجوء إلى القلع في العديد من الحالات من خلال تطبيق حركة إرجاع وحشي للأرحاء العلوية (Burstone, 1997; Bolla et al., 2002).

إن أجهزة الإرجاع الوحشي للأرحاء العلوية التقليدية كالأجهزة خارج فموية (حزام الرأس) والأجهزة المتحرّكة وأقواس Wilson تتطلّب تعاون المريض، وقد أدت المشاكل الناتجة عن عدم تعاون المرضى إلى الرغبة باستخدام أجهزة جديدة لإرجاع الأرحاء العلوية نقل من الاعتماد على تعاون المريض، وتكون تحت سيطرة مقوم الأسنان (Ferro et al., 2000; Melsen and Dalstra, 2003). إن الأجهزة داخل فموية هي أجهزة فعالة في إرجاع الأرحاء العلوية وهي لا تتطلّب تعاوناً كبيراً من قبل المريض، ولكن خسارة الدعم هي من أبرز سلبيات استخدامها التي تمثل بالحركة الأساسية للضواحك العلوية وزيادة الدرجة القاطعة السهميّة ونقصان مقدار التغطية (Ghosh and Nanda, 1996; Gelgor et al., 2004). تم تطوير العديد من أجهزة الإرجاع الوحشي للأرحاء العلوية داخل فموية والتي تعتمد على الدعم الهيكلي بالزريعت التقويمية (Lee et al., 2009)، أشار الباحث Kinzinger وزملاؤه إلى أن الاعتماد على الزريعت لتؤمن الدعم خلال الإرجاع الوحشي للأرحاء العلوية يقلل التأثيرات الجانبية غير المرغوبية التالية للإرجاع الوحشي، في حين لا يمكن اعتبارها خياراً مثالياً لتأمين الدعم لأسباب عديدة منها التكلفة المرتفعة (Kinzinger et al., 2005). يعتبر استخدام الزريعت التقويمية لدعم أجهزة الإرجاع الوحشي للأرحاء العلوية فعالاً، حيث أنه يحدث فقدان دعم أصغرى وميلان وحشي أصغرى أيضاً، كما يحدث حركة وحشية للضواحك العلوية وذلك بسبب الاستغناء عن الوصلات التي تربط الضواحك مع وحدة الجهاز لتؤمن الدعم (Mohamed et al., 2018). تعتبر منطقة الخط المتوسط من قبة الحنك الموقع المفضل لتطبيق الزريعت، وذلك يعود إلى وجود سماكة عظمية كافية، والذي بدوره يقلل خطر تأدي البني التشريحية المُجاورة كجذور الأسنان والأوعية الدموية (Duran et al., 2016). إن استخدام زريعتين معاً في قبة الحنك لدعم أجهزة الإرجاع الوحشي للأرحاء العلوية قدّم نجاحاً أكبر من استخدام زريعة واحدة فقط (Bechtold et al., 2013).

يُستطب الإرجاع الوحشي للأرحاء العلوية في الحالات التالية: علاقة روحية من الصنف الثاني أحادية أو ثنائية الجانب بمقدار حدة أو نصف حدة على الأقل . زاوية التصنيف الهيكلي $5^{\circ} \leq ANB$. مرضي نموذج النمو الطبيعي أو الأفقي بالنسبة للفك السفلي . زيادة مقدار البروز السنوي حتى 5 ملم . زيادة مقدار التغطية الأمامية . انحراف الخط المتوسط السنوي العلوي . ازدحام سني بسيط إلى متوسط على الفك العلوي . المرضى الرافضون للقلع (Alexander, 1992).

اقتراح الباحث Hilgers عام 1991 جهازاً لتصحيح علاقة الصنف الثاني عند المرضى غير المتعاونين وأطلق عليه اسم المؤسّع الحنكي، وأشار الباحث أن هذا الجهاز يسبب حركة وحشية للأرحاء الأولى العلوية مع دوران وحشي حنكي (Hilgers, 1991). بعد ذلك أضاف Hilgers عام 1992 بعض التعديلات على جهازه المؤسّع الحنكي، حيث أصبح يتتألف من زر Nance لتأمين الدعم، نوابض مصنوعة من أسلاك TMA ذات قياس 0.032إنش، وأطلق على هذا الجهاز اسم البندول Pendulum، كما يشمل الجهاز أطواق علوية ذات أنابيب حنكية بقياس 0.036إنش وذلك يسمح بإدخال سلك النابض ذو قياس 0.032إنش بشكل مُحكم تقريباً. عدل Hilgers جهازه السابق لمعالجة الحالات المتراوحة مع تضييق في المنطقة الخلفية

من الفك العلوي، واشتمل هذا التعديل على إضافة موسعة إلى الخط المتوسط لقبة الحنك، وأطلق على هذا الجهاز اسم Pendex (Hilgers, 1992).

أشارت الدراسة التي أجرتها Chaques-Asensi و Kalra أن الدعم في جهاز Pendulum التقليدي يعتمد على قبة الحنك والضواحك العلوية لتأمين حركة إرجاع وحشية للأرحاе العلوية، وهذا النموذج من الدعم يسبب تأثيرات جانبية غير مرغوبة مثل الحركة الأساسية للضواحك العلوية وميلان دهليزي للقواطع العلوية، ذلك يعني أن المسافة التي تحصل عليها بين الأرحاء الأولى والضواحك الثانية العلوية هي 55-70% نتيجة حدوث حركة إرجاع وحشي للأرحاء العلوية وتؤدي إلى خسارة في الدعم بنسبة 30-45%. (Chaques-Asensi and Kalra, 2001)

عدل Kircelli وزملاؤه جهاز Pendulum التقليدي عام 2006 لتأمين الدعم من خلال زراعة داخل عظمية من التيتانيوم بدلاً من الضواحك، وأطلق عليه جهاز Pendulum ذو الدعم الهيكلي (BAPA) Bone Anchored Pendulum Appliance (Kircelli et al., 2006).

اقترن الباحث Oncag وزملاؤه عام 2007 لإرجاع الأرحاء العلوية وحشياً استخدام نوابض جهاز Pendulum بالمشاركة مع زراعة حنكية بهدف تعزيز الدعم (Oncag et al., 2007).

عالج Escobar وزملاؤه حالات الصنف الثاني باستخدام جهاز Pendulum المدعوم هيكلياً، حيث طبقوا جهازهم المذكور مع زرعتين حنكتين على جنبي الدرز الحنكي المتوسط. أشار الباحث وزملاؤه عدم حدوث خسارة في الدعم خلال حركة الإرجاع الوحشي للأرحاء العلوية بجهاز Pendulum ذو الدعم الهيكلي (Escobar et al., 2007).

إن جهاز البندول يطبق قوة الإرجاع الوحشية من الجهة الحنكية وبالتالي فإن نقطة تأثير القوة تكون إلى الحنك من مركز مقاومة الرحي العلوية، وبالتالي فإن تحريكها وحشياً سيرافقه حدوث انقلاب دهليزي أنسني، يمكن معاكسة هذا الانقلاب بعمل طية-Toe-in في السلك، مما يسبب معاكسة رد الفعل غير المرغوب أثناء الإرجاع، وبالتالي إرجاع الرحي العلوية بحركة جسمية (Kinzinger and Diedrich, 2007).

أجرى الباحثان Sharma و Khanna دراسة مخبرية بهدف تحديد زاوية تنشيط نوابض جهاز Pendulum وذلك اعتماداً على مقدار القوة اللازمة لإرجاع الرحي العلوية وحشياً، حيث وجدا أنه عند تنشيط النابض بزاوية مدارها 90° درجة ينتج عنه قوة بمقدار 447.3 غرام، أمّا عند تنشيط النابض بزاوية مدارها 60° درجة ينتج عنه قوة بمقدار 366 غرام (Khanna and Sharma, 2018)، في حين أجرى الباحثان Kircelli و Joseph كلًا على حد دراسات سريرية لنتائج المعالجة بجهاز Pendulum، حيث كان التنشيط لمرة واحدة عن طريق حني النابض بزاوية مدارها 90° درجة أعطى متوسط قوة بمقدار 250 غرام وتم الإبقاء على الجهاز في فم المريض حتى الوصول إلى علاقة رحوية من الصنف الأول (Joseph and Butchart, 2000; Kircelli et al., 2006). أوصى الباحثان Kinzinger و Diedrich عند دعم جهاز Pendulum بزرعية في قبة الحنك بتنشيط وحشى للنابض بقوة مدارها 200 غرام وعمل طية Toe-in بمقدار 10° درجات، وطية Tip forward لتصحيف المحور بمقدار 15° درجة (Kinzinger and Diedrich, 2007).

2. هدف البحث :

يهدف البحث إلى تقييم فقد الدعم ودراسة التغييرات السنخية المُرافقة للإرجاع الوحشي للأرحاء العلوية باستخدام جهاز Pendulum المدعوم بالزرعيات، وذلك من خلال دراسة الصور الشعاعية السيفالومترية الجانبية.

3. المواد والطريق: Materials and Methods

تصميم الدراسة: إن البحث الحالي عبارة عن دراسة سريرية تطعيمية Prospective clinical study صُممَت من أجل معرفة التغييرات السنخية التي تنتج عن تطبيق جهاز Pendulum المدعوم بالزرعيات في إرجاع الأرحاء العلوية.

حجم العينة: تم تقدير حجم العينة باستخدام برنامج Minitab® (Minitab Inc, State College, PA) Minitab 19، حيث تم حساب حجم العينة من أجل اختبار ستودينت للعينة Sample t Test، ومن أجل قوة اختبار 95% عند مستوى دلالة $\alpha=0.05$ ، وتم تحديد أقل فرق جوهرى يُراد الكشف عنه في مقدار الإرهاع الوحشى للرحي الأولى العلوية 1.5 ملم، وبعد اعتماد الانحراف المعياري 1.3 ملم لهذا المُتغير والمأخوذ من دراسة (Kircelli et al., 2006)، كان حجم العينة هو 11 فرداً. تم زيادة 4 أفراد فأصبح حجم العينة يتالف من 15 مريضاً.

معايير الإدخال عينة البحث: المريض سوري الجنسية من سكان المنطقة الوسطى في سوريا . المرضى في مرحلة الإطباق الدائم المبكر ، وتتراوح أعمارهم بين 13-15 سنة، حيث تكون الأرحاء الثانية العلوية الدائمة مكتملة البزوغ . مرضى سوء الإطباق من الصنف الثاني على مستوى الأنابيب والأرحاء الأولى الدائمة بمقدار حبة أو نصف حبة على الأقل . وجود مسافة خلف رحوية كافية حسب Ricketts . زاوية التصنيف الهيكلي $ANB \leq 5^{\circ}$. مرضى نموذج النمو الطبيعي أو الأدقى وفقاً للفحص السريري، والمثبت لاحقاً من خلال الزاوية السيفالومترية SN-MP . لا يتجاوز مقدار البروز السنّي 5 ملم . التغطية الأمامية طبيعية أو زائدة . وجود ازدحام سنّي بسيط إلى متوسط على الفك العلوي . غياب الازدحام السنّي أو وجود ازدحام سنّي بسيط على الفك السفلي . في حال وجود براعم الأرحاء الثالثة العلوية يجب أن تكون بمستوى يصل فقط إلى منتصف جذور الأرحاء الثانية العلوية لا تتضمن خطّة معالجة المرضى القلع . لم يخضع المريض لمعالجة تقويمية سابقة.

مراحل تطبيق جهاز البندول المدعوم بالزرعات:

1. اختيار الأطواق التقويمية: تم تطبيق مطاط فصل تقويمي من شركة IOS (International Orthodontic Services, Houston, USA) أنسى ووحشى الأرحاء الأولى العلوية، بعد ذلك تم اختيار أطواق الأرحاء العلوية ذات وصفة 0.028×0.022 إنش والتي تحوي ثلاثة أنابيب دهليزية وأنبوب حنكي من شركة IOS.

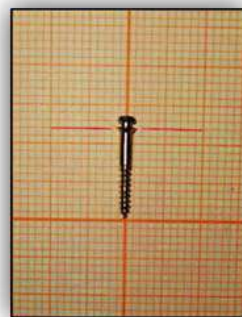
2. تطبيق الزرعات: استخدمت زرعات توسيعية من التيتانيوم من شركة INFINITYL® (IOS, Houston, USA) ذات طول 12 ملم وقطر 2 ملم الشكل (1)، وتم تطبيق الزرعات من الناحية الحنكية بالطريقة ذاتية التقب Self-drilling وفق الخطوات التالية:

1. طلب من المريض المضمضة بمحلول كلورهكسيدين بتركيز 0.12% لمدة دقيقة.
2. تم تحديد مكان إدخال الزرعات باستخدام قلم كوبايا بحيث يكون إلى الخلف من الحليمة القاطعة بمقدار 7 ملم ووحشى الخط المتوسط بمقدار 6-3 ملم (Kircelli et al., 2006).

3. تم إجراء تخدير موضعي للمكان المراد تطبيق الزريعة فيه باستخدام أمبولات تخدير تحتوي على الليدوکائين بنسبة 2%

وبالاعتماد على طريقة التخدير الموضعي تحت السمحاق.

4. تم الإدخال الأولي للزرعات باستخدام حامل الزرعات المستقيم من شركة IOS وبشكل عمودي على قبة الحنك الشكل (2)، بعد ذلك تم الإدخال النهائي للزرعات وتنبيتها باستخدام حامل الزرعات الخاص بقبة الحنك من شركة IOS الشكل (3)، وفي المكان المحدد مسبقاً كما يوضح الشكل (4). بعد الانتهاء من تطبيق الزرعات يتم التأكد من ثباتهما، ثم باستخدام مادة الألجينات (Hygedent®, Anas Dental Supplies, China) يتم إجراء طبعة للقوس السنّي العلوية بحيث يظهر فيها مكان الزرعات في قبة الحنك كما تحتوي أطواق الأرحاء الأولى العلوية الخاصة بكلّ مريض.



الشكل رقم (1): الزريعة الحنكية من شركة IOS



الشكل رقم (2): الإدخال الأولي للزرعات الشكل رقم (3): الإدخال النهائي للزرعات

باستخدام الحامل الخاص بقمة الحنك

باستخدام الحامل المستقيم



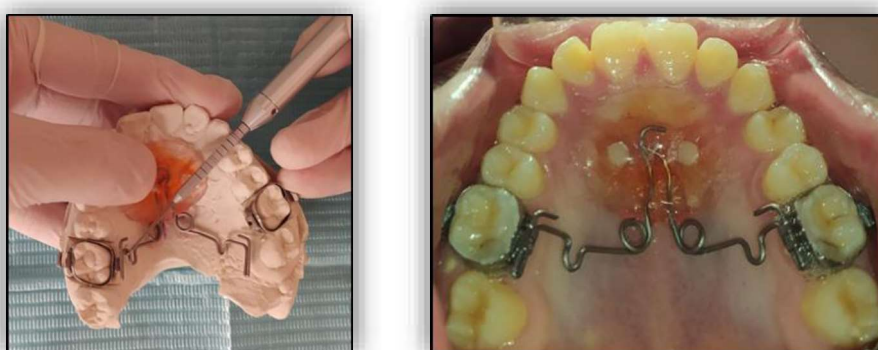
الشكل رقم (4): الزرعات بعد التطبيق مباشرةً

3. الإجراءات المخبرية: تم صب طبعة الألginات باستخدام الجبس الحجري، ثم تم تغطية رأس الزرعتين باستخدام الشمع الأحمر وذلك لصنع مسافة على إكربيل الجهاز مكان الزرعتين، بعد ذلك صُنعت نوابض جهاز Pendulum من أسلاك TMA مستديرة ذات قطر 0.036إنش من شركة IOS بحيث يتَّألف كل نابض من عروة من أجل التثبيت في الزر الإكريلي، تليه حلقة مغلقة متوضعة بشكل موازي للدرز الحنكي المتوسط وتميل عنه بالاتجاه المعاكس بمقدار 15 درجة لمعاكسة

الحركة الحنكية للأرحاء العلوية، وتتضمن النواص أياًًاً عُرِي عمودية بسيطة يمكن تنشيطها لتجنب تشكّل العضات المعاوسة الخلفية أثناء إنجاز حركة الإرجاع الوحشي للأرحاء العلوية (Fuzy et al., 2006)، وبعدها يُطوى السلك المشكّل للنواص على نفسه ليشكّل الذراع الذي سيدخل لاحقاً ضمن الأنابيب الحنكية لأطواق الأرحاء الأولى العلوية، ثم ثبّتت هذه العناصر على المثال الجبسي بواسطة الشمع، ومن ثم ذر الإكريل لجمع أجزاء الجهاز مع زر Nance بحيث يبتعد عن الحواف اللثنوية للأسنان بمقدار 3-5 ملم (Kircelli et al., 2006).

4. معايرة القوة في الجهاز: تمت معايرة القوة في الجهاز قبل تطبيقه في فم المريض وذلك على المثال الجبسي، حيث تم فتح عروة النابض وقياس القوة الناتجة عن التنشيط بواسطة الريبيعة وذلك بإعادة النابض إلى مكان استئاده (بمحاذة الأنابيب الحنكية لطوق الرحي الأولى) الشكل (5)، تم ضبط شدة القوة بمقدار 250 غرام (Escobar et al., 2007). تمت إضافة معلومات للنابض وهي Tip forward بمقدار 15° لتحقيق إمالة تاجية أنسية ثعابس الإمالة التاجية الوحشية المرافقة للإرجاع الوحشي وبالتالي تحقيق حركة جسمية، كما أضيفت معلومة Toe-in بمقدار 10° لتحقيق انفتال حنكى أنسى معاكس لانفتال الحنكى الوحشى المرافق للإرجاع الوحشى من الجهة الحنكية (Kinzinger and Diedrich, 2007).

5. تطبيق الجهاز ضمن الفم: في البداية تمت تجربة الجهاز للتأكد من دخوله وانطباقه بشكل صحيح قبل التثبيت النهائي، ثم تم تثبيت أطواق الأرحاء الأولى العلوية باستخدام مادة الاسمنت الزجاجي الشاردي (Micron Luting™, PREVESTDenPro®, India) بعد ذلك تم تثبيت الجهاز في قبة الحنك على الزرعتين المطبقتين سابقاً باستخدام مادة الإكريل البارد الحالي من عنصر الميتيل ميتاكريلات (Flexacryl® Hard, LANG, USA)، حيث تم أولاً تجفيف الجهاز بشكل جيد وتطبيق مادة التكييف المرافقة للإكريل على باطن الجهاز ثم الانتظار لمدة 10 دقائق وفق تعليمات الشركة المصنعة يليه مزج مسحوق الإكريل مع السائل الخاص به ثم إدخال الجهاز إلى فم المريض وتثبيته بمادة الإكريل المحضرّة سابقاً من خلال تطبيقه في المنطقة المُوافقة للزرعتين، ومن ثم تنظيف البقايا الإكريلية وبقايا الاسمنت الزجاجي الشاردي المستخدم. أخيراً يتم إدخال حافة النابض في الأنابيب الحنكية لطوق الرحي الأولى العلوية من كل جهة فيصبح الجهاز فعالاً الشكل (6). تمت مراقبة الجهاز شهرياً وإعادة تنشيط النوابض داخل فم المريض عند الحاجة لذلك ومعايرة القوة بواسطة الريبيعة وضبطها بشدة 250 غرام، بالإضافة إلى فحص سلامة النسج الرخوة المحيطة بالجهاز والتأكد من التزام المريض بتعليمات الصحة الفموية.



الشكل رقم (5): معايرة القوة باستخدام الريبيعة الشكل رقم (6): جهاز Pendulum المطبق سريرياً
جمع البيانات: تم استخراج نتائج هذه الدراسة من خلال تحليل الصور الشعاعية القياسية الرأسية الجانبية لمعرفة التغييرات السننية السنخية التالية لإرجاع الأرحاء العلوية. تم الحصول على الصور الشعاعية السيفالومترية لجميع المرضى المشاركون من قبل نفس الفي و باستخدام نفس جهاز الأشعة (Carestream, CS 9300, France) وذلك عند نقطتين زمنيتين:

70: قبل البدء بالمعالجة .71: بعد الإرجاع الوحشي للأرهاط الأولى العلوية والحصول على علاقة رحوية من الصنف الأول حسب Angle مع تصحيح زائد بمقدار 2-1 ملم.

لتحليل الصور الشعاعية السيفالومترية يجب تحديد المستويات المرجعية. تم في البحث الحالي اعتماد مستوى فرانكفورت FH كمستوى مرجعي أفقى وهو المستوى المار بالنقطة Or (النقطة الأكثر انخفاضاً على الحافة السفلية للحجاج) والنقطة Po (النقطة المتوسطة على الحافة العلوية لمجرى السمع الظاهر)، أما بالنسبة للمستوى المرجعي العمودي فقد تم اعتماد المستوى الجناحي العمودي PTV وهو المستوى المتعامد مع مستوى فرانكفورت ويمر من النقطة الجناحية PT (نقطة تشريحية متوسطة على الحافة العلوية الخلفية للشق الجناحي الفكي العلوي)، بعد ذلك تم حساب الانزياحات الأفقية والعمودية للنقاط السنية المستخدمة في البحث نسبةً لهذين المستويين. اعتمد هذان المستويان كمستويين مرجعيين في العديد من الدراسات التي تحرّكت التغييرات السنية السنخية التالية للإرجاع الوحشي للأرهاط العلوية باستخدام أجهزة إرجاع مختلفة .(Oncag et al., 2007; Kircelli et al., 2006; Fuzy et al., 2006)

لإنجاز الدراسة القياسية الرأسية الجانبية تم استخدام برنامج حاسوبي تقويمي خاص وهو برنامج CS Imaging Software، الشكل (7) يوضح واجهة البرنامج المستخدم.



الشكل رقم (7): واجهة برنامج CS Imaging Software المستخدم في البحث

الجدول رقم (1): القياسات الزاوية المستخدمة في الدراسة الشعاعية

# الرقم	القياس	تعريفه *
1	$U1 \text{ axis.} FH^o$	الزاوية بين المحور الطولي للثانيا العلوية ومستوى فرانكفورت وتعبر عن تزوّي الثانيا العلوية بالنسبة لمستوى فرانكفورت
2	$U4 \text{ axis.} FH^o$	الزاوية بين المحور الطولي للضاحك الأول العلوي ومستوى فرانكفورت وتعبر عن تزوّي الضاحك الأول بالنسبة لمستوى فرانكفورت
3	$U5 \text{ axis.} FH^o$	الزاوية بين المحور الطولي للضاحك الثاني العلوي ومستوى فرانكفورت وتعبر عن تزوّي الضاحك الثاني بالنسبة لمستوى فرانكفورت
4	$U6 \text{ axis.} FH^o$	الزاوية بين المحور الطولي للرحي الأولى العلوية ومستوى فرانكفورت وتعبر عن تزوّي الرحي الأولى بالنسبة لمستوى فرانكفورت
5	$U7 \text{ axis.} FH^o$	الزاوية بين المحور الطولي للرحي الثانية العلوية ومستوى فرانكفورت وتعبر عن تزوّي الرحي الثانية بالنسبة لمستوى فرانكفورت

* التعريف وفقاً لدراسات سابقة (Kircelli et al., 2006؛ بكيره وأخرون..، 2020).

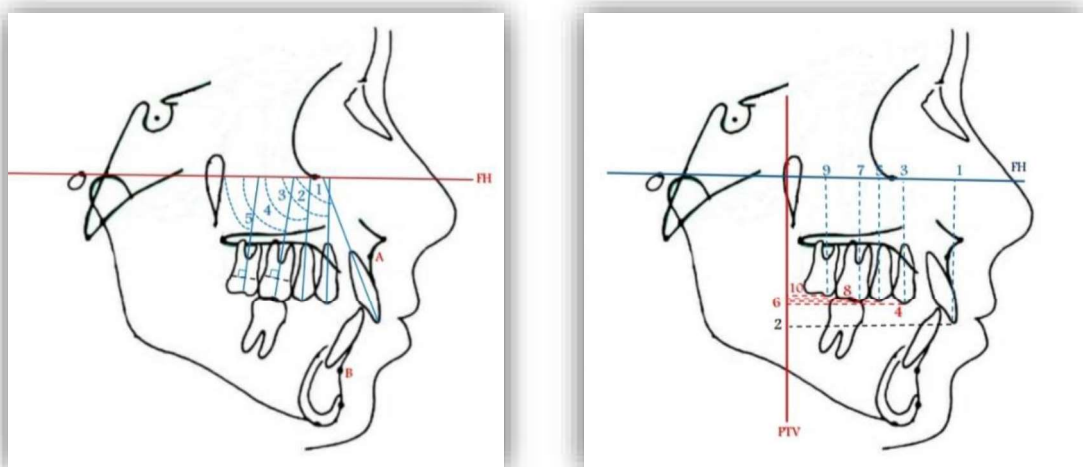
الرقم المجاور للمتغير يناسب موقعه في الشكل (8)، ° قياس زاوي بالدرجة.

الجدول رقم (2): القياسات الخطية المستخدمة في الدراسة الشعاعية

# الرقم	القياس	تعريفه *
1	$U1-FH^-$	البعد بين الحد القاطع للثانية العلوية ومستوى فرانكفورت ويعبر عن التغيرات العمودية (غز . تبزيع) للثانية العلوية
2	$U1-PTV^-$	البعد بين الحد القاطع للثانية العلوية والمستوى الجناحي العمودي ويعبر عن التغيرات السهمية ((رجاع وحشي . انسلاسل أنسبي) للثانية العلوية
3	$U4-FH^-$	البعد بين ذروة الحدبة الدهليزية للضاحك الأول العلوي ومستوى فرانكفورت ويعبر عن التغيرات العمودية (غز . تبزيع) للضاحك الأول العلوي
4	$U4-PTV^-$	البعد بين ذروة الحدبة الدهليزية للضاحك الأول العلوي والممستوى الجناحي العمودي ويعبر عن التغيرات السهمية ((رجاع وحشي . انسلاسل أنسبي) للضاحك الأول
5	$U5-FH^-$	البعد بين ذروة الحدبة الدهليزية للضاحك الثاني العلوي ومستوى فرانكفورت ويعبر عن التغيرات العمودية (غز . تبزيع) للضاحك الثاني العلوي
6	$U5-PTV^-$	البعد بين ذروة الحدبة الدهليزية للضاحك الثاني العلوي والممستوى الجناحي العمودي ويعبر عن التغيرات السهمية ((رجاع وحشي . انسلاسل أنسبي) للضاحك الثاني
7	$U6-FH^-$	البعد بين ذروة الحدبة الأنسيّة للرحي الأولى العلوية ومستوى فرانكفورت ويعبر عن التغيرات العمودية (غز . تبزيع) للرحي الأولى العلوية
8	$U6-PTV^-$	البعد بين ذروة الحدبة الأنسيّة للرحي الأولى العلوية والممستوى الجناحي العمودي ويعبر عن التغيرات السهمية ((رجاع وحشي . انسلاسل أنسبي) للرحي الأولى
9	$U7-FH^-$	البعد بين ذروة الحدبة الأنسيّة للرحي الثانية العلوية ومستوى فرانكفورت ويعبر عن التغيرات العمودية (غز . تبزيع) للرحي الثانية العلوية
10	$U7-PTV^-$	البعد بين ذروة الحدبة الأنسيّة للرحي الثانية العلوية والممستوى الجناحي العمودي ويعبر عن التغيرات السهمية ((رجاع وحشي . انسلاسل أنسبي) للرحي الثانية

* التعريف وفقاً لدراسات سابقة (Kircelli et al., 2006؛ بكيره وأخرون..، 2020).

الرقم المجاور للمتغير يناسب موقعه في الشكل (9)، - قياس خطّي بالمليميتر.



الشكل رقم (9): القياسات الزاوية المستخدمة في الدراسة الشعاعية

الشكل رقم (8): القياسات الزاوية المستخدمة في الدراسة الشعاعية

الثنيت بعد الإرهاع الوحشي للأرحاء العلوية: بعد الانتهاء من الإرهاع الوحشي للأرحاء العلوية والحصول على علاقة رحوية من الصنف الأول حسب Angle مع تصحيح زائد بمقدار 2-1 ملم (الشكل (10)، تم الإبقاء على جهاز Pendulum المدعوم بالزرريعت بهدف تثبيت نتائج المعالجة بينما يتم إرهاع الضواحك، الأناب، والقواطع العلوية باستخدام الجهاز التقويمي الدهليزي الثابت.



الشكل رقم (10): الحصول على علاقة رحوية من الصنف الأول مع تصحيح زائد التحليل الإحصائي: تم إجراء جميع الاختبارات الإحصائية الأساسية في هذه الدراسة باستخدام الحزمة الإحصائية Minitab® 19 في حين تم إجراء اختبارات خطأ الطريقة بتطبيق مُعادلة Dahlberg (Dahlberg, 1940) لحساب مقدار خطأ الطريقة المستخدمة في تحليل الصور الشعاعية القياسية الجانبية، تُعطى مُعادلة Dahlberg وفق القانون التالي:

$$ME = \sqrt{\sum d^2 / 2N}$$

حيث: ME خطأ الطريقة، N عدد أزواج الأمثلة الرقمية المُعاد قياسها، d الفرق بين كل قياسين.
تم إجراء الاختبارات التالية عند مستوى ثقة 95% ومستوى دلالة $\alpha=0.05$:
- اختبار Anderson-Darling على جميع المتغيرات التي ضممتها الدراسة لمعرفة فيما إذا كان توزّع البيانات طبيعياً أم لا.

- اختبار t للعينة المزاوجة Paired-sample t-test بسبب توزع البيانات بشكل طبيعي في الأرمنة المختلفة.

4. النتائج :Results

يُظهر كل من الجدولين (3) و (4) التغيرات التي طرأت على القياسات الزاوية والخطية التي أجريت على الصور الشعاعية القياسية الرئيسية الجانبية بعد الانتهاء من مرحلة الإرجاع الوحشي للأرحاе العلوية باستخدام جهاز Pendulum المدعوم بالزرعات.

الجدول رقم (3): الإحصاء التحليلي للتغيرات الطارئة على القياسات الزاوية المُجرأة على الصور الشعاعية القياسية الرئيسية الجانبية بعد الانتهاء من الإرجاع الوحشي للأرحاء العلوية (T1-T0)

T1 – T0			T1			T0			المتغير Variable*
P-value	Paired T-test	المتوسط الحسابي Mean	الخطأ المعياري SE	الانحراف المعياري SD	المتوسط الحسابي Mean	الخطأ المعياري SE	الانحراف المعياري SD	المتوسط الحسابي Mean	
= 0.667	5.37	0.29	1.03	3.97	106.83	1.03	3.97	106.54	U1 axis.FH°
< 0.001	- 7.70	-2.91	0.76	2.95	87.09	0.80	3.09	90.00	U4 axis.FH°
< 0.001	-12.18	- 4.51	1.14	4.40	78.23	1.03	3.99	82.74	U5 axis.FH°
< 0.001	- 16.21	- 9.00	1.15	4.47	23.73	0.98	3.81	32.73	U6 axis.FH°
< 0.001	- 14.90	- 9.65	1.19	4.61	15.43	0.92	3.55	25.07	U7 axis.FH°

° قياس زاوي بالذرجة

* تعريف القياسات الزاوية موجود في الجدول (1)

الجدول رقم (4): الإحصاء التحليلي للتغيرات الطارئة على القياسات الخطية المُجرأة على الصور الشعاعية القياسية الرئيسية الجانبية بعد الانتهاء من الإرجاع الوحشي للأرحاء العلوية (T1-T0)

T1 – T0			T1			T0			المتغير Variable*
P-value	Paired T-test	المتوسط الحسابي Mean	الخطأ المعياري SE	الانحراف المعياري SD	المتوسط الحسابي Mean	الخطأ المعياري SE	الانحراف المعياري SD	المتوسط الحسابي Mean	
= 0.974	4.78	0.07	0.85	3.30	55.10	0.85	3.29	55.02	U1-FH^-
< 0.001	5.37	0.31	0.89	3.44	56.05	0.91	3.51	55.73	U1-PTV^-
= 0.703	4.79	0.25	0.92	3.55	50.29	0.91	3.52	50.05	U4-FH^-
< 0.001	- 15.56	- 2.11	1.08	4.19	33.91	1.06	4.11	36.02	U4-PTV^-
= 0.143	5.62	0.33	0.99	3.83	48.16	1.01	3.90	47.83	U5-FH^-
< 0.001	- 16.39	- 2.61	1.06	4.09	27.09	1.09	4.21	29.69	U5-PTV^-
= 0.606	6.23	0.28	1.01	3.92	46.10	1.00	3.89	45.82	U6-FH^-
< 0.001	- 30.95	- 4.67	0.92	3.56	18.53	1.00	3.86	23.20	U6-PTV^-
= 0.476	6.08	0.25	0.87	3.38	43.62	0.88	3.39	43.37	U7-FH^-
< 0.001	- 34.39	- 4.27	0.83	3.23	11.31	0.85	3.29	15.58	U7-PTV^-

- قياس خطى بالمليميتر

* تعريف القياسات الخطية موجود في الجدول (2)

سُجّلت هذه الدراسة حدوث إِمَالَة أَنْسِيَّة للقواطع العلوية بـمقدار 0.29 درجة لكن لم تكن هذه القيمة جوهرية من الناحية الإحصائية ($P=0.667$), بينما حدثت إِمَالَة وحشية جوهرية على مستوى الضواحك الأولى العلوية بـمقدار وسطي 2.91 درجة ($P<0.001$), أيضاً مالت الضواحك الثانية العلوية وحشياً بـمقدار وسطي 4.51 درجة وهذه الإِمَالَة ذات دلالة إحصائية جوهرية ($P<0.001$), كما سُجّلت الأرَاء الأولى العلوية إِمَالَة وحشية جوهرية بـمقدار وسطي 9 درجة ($P<0.001$), وبشكل تالي حدثت إِمَالَة وحشية للأرَاء الثانية العلوية بـمقدار وسطي 9.65 درجة وكان هذا التغيير جوهرياً من الناحية الإحصائية ($P<0.001$).

بالنسبة للتغيرات السنوية في المستوى العمودي، تشير نتائج الدراسة إلى أن القواطع العلوية بـزُغَّة بـمقدار طفيف 0.07 ملم ولم تكن هذه الزيادة جوهرية من الناحية الإحصائية ($P=0.974$), أيضاً أبدت الضواحك الأولى العلوية بـزُغَّة بـمقدار وسطي 0.25 ملم ولم تكن هذه القيمة جوهرية إحصائياً ($P=0.703$), كما ثُلِّاحظ بـزُغَّة على مستوى الضواحك الثانية العلوية بـمقدار 0.33 ملم لكن لم تكن هذه القيمة ذات دلالة إحصائية جوهرية ($P=0.143$), وبشكل مُشابه سُجّلت الدراسة بـزُغَّة في الأرَاء الأولى العلوية بـمقدار 0.28 ملم ولم تكن هذه الزيادة جوهرية من الناحية الإحصائية ($P=0.606$), أيضاً لُوِظَ بـزُغَّة على مستوى الأرَاء الثانية العلوية بـمقدار 0.25 ملم لكن لم يكن هذا البُزوغ جوهرياً من الناحية الإحصائية ($P=0.476$).

فيما يتعلّق بالتغيّرات الأماميّة الخلفيّة على مستوى الأرَاء العلوية والأسنان الداعمة، ثُلِّاحظ نتائج هذه الدراسة أن القواطع العلوية تحرّكت أَنْسِيًّا بـمقدار 0.31 ملم وكانت هذه القيمة جوهرية من الناحية الإحصائية ($P<0.001$), بينما تحرّكت الضواحك الأولى والثانية العلوية وحشياً بـمقدار 2.11 ملم و 2.61 ملم على الترتيب وهذه التغيّرات ذات دلالة جوهرية من الناحية الإحصائية ($P<0.001$), وبشكل موافق سُجّلت الأرَاء الأولى العلوية حركة وحشية بـمقدار وسطي 4.67 ملم وكانت هذه الحركة ذات دلالة جوهرية من الناحية الإحصائية ($P<0.001$), كما كان الإِرْجاع الوحشي المُسجَّل على مستوى الأرَاء الثانية العلوية جوهرياً أيضاً من الناحية الإحصائية حيث سُجّلت حركة وحشية بـمقدار 4.27 ملم ($P<0.001$).

5. المناقشة :Discussion

تصميم الدراسة: تم اختيار المرضى في مرحلة الإطباق الدائم ومن الفئة العمرية (15-13) سنة حيث تكون الأرَاء الثانية العلوية بازغة بشكل كامل إلى مستوى الإطباق الوظيفي وذلك بهدف الحصول على حركة رحويّة وحشية جسمية، حيث لاحظ الباحث Graber أنه عندما يُطبق الشد خارج الفموي على الأرَاء الأولى العلوية دون وجود الأرَاء الثانية فإن الأرَاء الأولى تميل وحشياً أكثر من أن تتحرّك حركة جسمية (Graber, 1955)، كما وجد الباحث Bolla وزملاؤه أن مقدار الإِمَالَة الوحشية للأرَاء الأولى العلوية في العينات التي كانت لديها الأرَاء الثانية العلوية بازغة فقط إلى مستوى الثالث الذري لجذور الأرَاء الأولى ضعف مقدار الإِمَالَة المشاهد في العينات التي كانت لديها الأرَاء الثانية العلوية مُكتملة البُزوغ (Bolla et al., 2002)، السبب الآخر لاعتماد الفئة العمرية في البحث الحالي هو أن برامع الأرَاء الثالثة العلوية في حال وجودها لن تتجاوز مُنْتَصِف جذور الأرَاء الثانية العلوية، حيث يُعتبر الإِرْجاع الوحشي للأرَاء الأولى العلوية تحدياً كبيراً في حال تجاوزت برامع الأرَاء الثالثة مُنْتَصِف جذور الأرَاء الثانية العلوية (Ghosh and Nanda, 1996). كما تم اختيار العينة من المرضى ذوي نموذج النمو الطبيعي أو الأفقي واستبعاد المرضى ذوي نموذج النمو العمودي، وذلك لأنّ الإِرْجاع الوحشي للأرَاء العلوية يُعتبر مُضاد استطباب لهؤلاء المرضى كونه يُحرّض الدوران الخلفي للفَّ السفلي (Bolla et al., 2002). تم في البحث الحالي تأمين الدعم اللازم خلال مرحلة الإِرْجاع الوحشي للأرَاء العلوية من خلال الاعتماد على تطبيق زريعتين في قبة الحنك، وذلك لأنّ الدراسات السريرية السابقة أثبتت أن استخدام زريعتين معًا في قبة الحنك قدّم نجاحاً أكبر من استخدام زريعة واحدة فقط (Bechtold et al., 2013)، أيضاً سُجّلت

دراسة الباحث Kircelli وزملاؤه حاليَن فشل في ثبات جهاز Pendulum المدعوم بزريعة واحدة فقط لدى المرضى ذوي قبةِ الحنك الضحلة (Kircelli et al., 2006)، السبب الآخر هو أن تطبيق زريعتين يسمح بالاستغناء عن الوصلات التي تربط الصواحك مع كتلة الجهاز وبالتالي الاستفادة من شد الألياف الرباطية المُعترضة في إرجاع الصواحك العلوية (Mohamed et al., 2018).. اختارت هذه الدراسة زريعتاً حنكية أطول (ذات طول 12 ملم) من تلك الزريعتين المستخدمة في الدراسات السريرية السابقة على جهاز Pendulum ذو الدعم الهيكلي، على اعتبار أن زيادة طول الزريعة يزيد من ثباتها ومقاومتها للحركة عند تطبيق قوى الإرجال (Gelgor et al., 2004).

تم تطبيق الزريعتين في المنطقة الأمامية من قبةِ الحنك على بعد بمقدار 9-7 ملم بالنسبة للحليمة القاطعة وبمقدار 6-3 وحشي الخط المتوسط، وذلك اعتماداً على الأدبيات الطبية السابقة التي أثبتت أن هذه المنطقة ذات ثمانة عظمية كافية (Gracco et al., 2008) والذي بدوره يقلل خطر تأديي البنى التشريحية المُجاورة كجذور الأسنان والأوعية الدموية (Duran et al., 2016). تم الإرجاع الوحشي للأرحاء العلوية من خلال تطبيق قوة بمقدار 250 غرام في كل جانب، وذلك لأن زيادة مقدار القوة المطبقة لإرجاع الأرحاء يُسبب إمالة تاجية وحشية زائدة غير مرغوبية، بينما تطبيق قوة بمقدار 250 غرام شهرياً يسمح بحركة جذرية وحشية تالية للحركة التاجية وبالتالي الحصول على حركة رحوية وحشية جسمية، من جهة أخرى فإن زيادة مقدار القوة المطبقة عن 250 غرام تُسبب امتصاص في جذور الأرحاء بنسبة قد تصل إلى 20% (Joseph and Butchart, 2000; Kircelli et al., 2006). بعد الانتهاء من مرحلة الإرجاع الوحشي للأرحاء العلوية والحصول على علاقة رحوية من الصنف الأول حسب Angle كان من الضروري عمل تصحيح زائد للعلاقة الرحوية بمقدار 2-1 ملم، وذلك لأن الإرجاع الوحشي للأرحاء العلوية يُسبب حركة تاجية أكبر من الحركة الجذرية، وبالتالي فإن تصحيح هذا الميلان الناتج يتطلب مسافة زائدة، وبذلك فإن التصحيح الزائد يؤمن الحصول على علاقة رحوية من الصنف الأول عند تصحيح المحاور، السبب الآخر للتصحيح الزائد هو معاوضة خسارة الدعم التي تحصل لاحقاً خلال مرحلة إرجاع الصواحك، الأنابيب، والقواطع (Dietz and Gianelly, 2000; Rana and Becher, 2000).

التغيرات السنوية في المستوى السهمي: استطاع جهاز Pendulum المدعوم بالزريعتين إرجاع الأرحاء العلوية وحشياً، وتمثل ذلك بتناقص البعد بين النقاط المرجعية على الأرحاء العلوية والمستوى العمودي المرجعي PTV، بلغ مقدار الإرجاع الوحشي 4.67 ملم بالنسبة للأرحاء الأولى و 4.27 ملم بالنسبة للأرحاء الثانية، وكانت هذه القيم جوهريّة إحصائياً. يُلاحظ من خلال مراجعة الدراسات السابقة حدوث حركة وحشية للأرحاء العلوية بمقادير مُتفاوتة، حيث بلغ مقدار الإرجاع الوحشي للأرحاء الأولى العلوية في دراسة Kircelli وزملاؤه على جهاز Pendulum المدعوم بزريعة واحدة في قبةِ الحنك 6.3 ملم (Kircelli et al., 2006)، بينما كانت قيمة الإرجاع الوحشي للأرحاء الأولى العلوية في دراسة Escobar وزملاؤه على جهاز Pendulum ذو الدعم الهيكلي 6 ملم (Escobar et al., 2007)، وفي دراسة الباحث Oncag وزملاؤه التي قارن فيها بين جهاز Pendulum التقليدي ونوابض جهاز Pendulum المدعومة بزريعة حنكية واحدة بلغ مقدار الإرجاع الوحشي للأرحاء الأولى العلوية 5.1 ملم بالنسبة للمجموعة الأولى مقابل 4.5 ملم بالنسبة للمجموعة ذات الزريعة (Oncag et al., 2007)، أيضاً سُجلت دراسة الباحثان Kircali و Yuksel إرجاع وحشى للأرحاء الأولى العلوية باستخدام جهاز Pendulum المدعوم بزريعة حنكية واحدة بمقدار وسطي 4.2 ملم وبمقدار 3.5 ملم بالنسبة للأرحاء الثانية العلوية (Kircali and Yuksel, 2018). إن التغيرات التي طرأت على الأرحاء العلوية لدى أفراد عينة البحث تقع ضمن المجال الذي تتراوح ضمته قيم الإرجاع الوحشي للأرحاء العلوية فيأغلب المقالات التيتناولتأجهزة إرجاع وحشى للأرحاء العلوية شبيهة بالجهاز المشمول في هذا البحث، وتعد هذه الفروق البسيطة في مقادير الإرجاع الوحشي للأرحاء العلوية بين

الدراسات المختلفة إلى درجة الصنف الثاني من سوء الإطباق والمقدار المطلوب من الإرجاع للوصول إلى علاقة رحويّة من الصنف الأول واختلاف معايير انتهاء الإرجاع الوحشي للأرهاط العلوية.

ترافقـتـ الحركةـ الوحـشـيةـ لـلـأـرـهـاءـ العـلـوـيـةـ معـ إـمـالـةـ وـحـشـيـةـ بـمـحـورـهاـ بـمـقـدـارـ وـسـطـيـ 9 درجة على مستوى الأرهاط الأولى و 9.65 درجة على مستوى الأرهاط الثانية، وتمثل ذلك بتناقص قيمة الزاوية بين محور الرحي العلوية ومستوى فرانكفورت الأفقي FH . إن الميلان الوحشي الحاصل ناتج عن تطبيق القوة بعيداً عن مركز المقاومة، حيث طبقت القوة في هذه الدراسة على تاج الرحي العلوية (أسفل مركز المقاومة) مما تسبّب بحدوث عزم أدى إلى ميلان جذر الرحي أنسياً وميلان الناج وحشياً. اتفقت نتائج هذه الدراسة مع دراسة Kircelli وزملاؤه حيث وجدوا أن الأرهاط الأولى العلوية مالت وحشياً بمقدار 10.9 درجة (Kircelli et al., 2006)، كما اتفقت النتائج مع دراسة Escobar وزملاؤه حيث وجدوا أن الأرهاط الأولى العلوية مالت وحشياً بمقدار 11.31 درجة (Escobar et al., 2007)، أيضاً اتفقنا مع دراسة Oncag وزملاؤه حيث سجلوا حدوث إمالة وحشية مُرافقة للإرجاع الوحشي للأرهاط الأولى العلوية بمقدار 7.04 درجة في مجموعة جهاز Pendulum التقليدي مقابل إمالة وحشية بمقدار 14.4 درجة بالنسبة لمجموعة ذات الزريعة (Oncag et al., 2007)، كما اتفقنا مع نتائج دراسة الباحثان Kircali و Yuksel اللذان وجدا أن إرجاع الأرهاط العلوية وحشياً سبب ميلاناً وحشياً للأرهاط الأولى والثانية العلوية بمقدار 8.9 درجة و 8.3 درجة على الترتيب (Kircali and Yuksel, 2018). اتفقنا مع جميع الدراسات السابقة الذكر بحدوث إمالة وحشية للأرهاط العلوية مع وجود فروقات في بعض القيم، هذه الفروقات في مقادير الإمالة الوحشية ناجمة عن الفروقات في مقادير الإرجاع، حيث كلما ازدادت المسافة المطلوبة للإرجاع الوحشي ازدادت مقادير الإمالة الوحشية، كما أنها ناجمة عن الاختلاف في شدة القوة والميكانيك الحيوي للأجهزة.

أثبتت نتائج الدراسة الحاليّة عدم حدوث خسارة في الدعم على مستوى الضواحك العلوية، فقد لُوحظ حدوث حركة إرجاع وحشى للضواحك الأولى والثانية العلوية بعد إرجاع الأرهاط العلوية، وتمثل ذلك بتناقص البعد بين النقاط المرجعية على الضواحك العلوية والمستوى العمودي المرجعي PTV، أيضاً ترافقـتـ حركةـ الإـرـجـاعـ الوحـشـيـ معـ إـمـالـةـ وـحـشـيـةـ بـسـيـطـةـ فيـ مـحـاوـرـهاـ،ـ وـتـمـثـلـ ذـلـكـ بـتـنـاـصـقـ قـيـمـةـ الزـاوـيـةـ بـيـنـ مـحـورـ الضـواـحـكـ العـلـوـيـةـ وـمـسـتـوـيـ فـرـانـكـفـورـتـ الأـفـقـيـ FHـ،ـ بـلـغـتـ قـيـمـةـ الإـرـجـاعـ الوحـشـيـ 2.91 درجة للضواحك الأولى 2.11 ملم و 2.61 ملم بالنسبة للضواحك الثانية، بينما كانت قيم الإمالة الوحشية 4.51 درجة بالنسبة للضواحك الأولى و 3.8 درجة بالنسبة للضواحك الثانية. اتفقت نتائج دراستنا مع دراسة Kircelli وزملاؤه حيث وجدوا أن إرجاع الأرهاط العلوية وحشياً سبب حركة وحشية للضواحك الأولى العلوية بمقدار وسطي 3.8 ملم مع إمالة وحشية بمقدار 3.8 درجة، بينما بلغت قيمة الإرجاع الوحشي للضواحك الثانية العلوية 5.4 ملم مع إمالة وحشية بمقدار 16.3 درجة (Kircelli et al., 2006)، واتفقنا أيضاً مع نتائج دراسة Escobar وزملاؤه التي أثبتت حدوث حركة وحشية للضواحك الثانية العلوية تالية للإرجاع الوحشي للأرهاط العلوية بمقدار 4.85 ملم مع إمالة وحشية بمقدار 8.62 درجة (Escobar et al., 2007) كما اتفقت نتائج هذه الدراسة مع نتائج دراسة الباحث Oncag وزملاؤه بالنسبة لمجموعة ذات الزريعة التي سُجلت فيها حركة وحشية للضواحك الأولى العلوية بمقدار 2.8 ملم مع إمالة وحشية بمقدار 6.33 درجة، بينما اختلفت النتائج مع مجموعة جهاز Pendulum التقليدي التي لُوحظ فيها حركة أنسية للضواحك الأولى العلوية بمقدار 1.54 ملم مع إمالة أنسية بمقدار 2.13 درجة (Oncag et al., 2007)، كما اختلفت نتائج هذه الدراسة مع دراسة الباحث Fuziy على جهاز Pendulum التقليدي حيث لُوحظ حركة أنسية للضواحك الأولى العلوية بمقدار 2.65 ملم مع إمالة أنسية بمقدار 2.50 درجة وبالتالي حدوث خسارة ملحوظة في الدعم (Fuziy et al., 2006)، أيضاً اختلفنا مع نتائج دراسة الباحثان Kircali و Yuksel التي لُوحظ فيها حركة أنسية للضواحك الأولى والثانية العلوية بمقدار وسطي 2.2 و 0.4 ملم على الترتيب مع إمالة أنسية بمقدار 3.4 درجة و 0.8 درجة على الترتيب (Kircali and Yuksel, 2018).

يُقْسِرُ الاختلاف مع الدراسات المذكورة سابقاً باستخدام الوصلات (أطواق - مهاميز) التي تربط الضواحك العلوية مع إكرييل الجهاز بهدف زيادة دعم وثبات الجهاز، بينما اعتمدت الدراسة الحالية على استخدام زريعتين معاً في قبة الحنك والاستغناء عن أي ارتباطات بين الضواحك العلوية والجهاز مما يسمح بحدوث حركة وحشية للضواحك العلوية نتيجة شد الألياف الرباطية المُعترضة.

بيّنت نتائج هذه الدراسة بالنسبة لغيرات القواطع العلوية في المستوى السهمي حدوث حركة أنسية بسيطة بمقدار 0.31 ملم، وتمثل ذلك بزيادة البعد بين النقطة المرجعية على القواطع العلوية والمستوى العمودي المرجعي PTV، ترافقت هذه الحركة مع إمالة أنسية طفيفة وغير ذاتية إحصائياً بمقدار 0.29 درجة وتمثل ذلك بزيادة قيمة الزاوية بين محور القواطع العلوية ومستوى فرانكفورت الأفقي FH. اتفقت هذه النتائج مع دراسة Kircelli وزملاه حيث سجلوا حركة أنسية للقواطع العلوية بمقدار 0.2 ملم مع إمالة أنسية بمقدار 0.6 درجة (Kircelli et al., 2006)، كما اتفقت هذه النتائج مع دراسة Kircali بمقدار 0.2 ملم حيث برزت القواطع العلوية بمقدار 0.6 ملم ومالت أنسياً بمقدار 0.3 درجة عند إرجاع الأرحة العلوية وحشياً و Yuksel (Kircali and Yuksel, 2018) ولكن اختلفنا مع دراسة Escobar وزملاه التي سجلت حركة وحشية للدواطع العلوية بمقدار 1.33 ملم مع إمالة حنكية بمقدار 2.98 درجة (Escobar et al., 2007)، كما اختلفت النتائج مع دراسة Oncag وزملاه بالنسبة لمجموعة نوابض جهاز Pendulum المدعومة بزرعية حنكية حيث سجلوا حركة وحشية للدواطع العلوية بمقدار 2 ملم مع إمالة حنكية بمقدار 0.6 درجة (Oncag et al., 2007). تعود هذه الاختلافات إلى القوة التي طبقتها الكتلة الإكريليكية (زر Nance) على المنطقة حنكية القواطع العلوية كرد فعل عند إرجاع الأرحة العلوية وحشياً مما تسبب بحدوث حركة أنسية مع إمالة أنسية للدواطع العلوية، بينما في دراسة Escobar وزملاه كان زر Nance في المنطقة المتوسطة من قبة الحنك بعيداً عن القواطع العلوية، أيضاً دراسة Oncag وزملاه استغنت عن الكتلة الإكريليكية واعتمدت في الدعم على الزرعية الحنكية فقط مما تسبب بحدوث حركة وحشية مع إمالة حنكية للدواطع العلوية.

الغيرات السنية في المستوى العمودي: سجلت هذه الدراسة عدم حدوث تغيرات سنية في المستوى العمودي ذات دلالة إحصائية جوهرية بالنسبة للدواطع والضواحك والأرحة العلوية بعد الإرجاع الوحشي للأرحة العلوية باستخدام جهاز Pendulum المدعوم بالزرعات، حيث لوحظ حدوث تبزيع طفيف وغير ذاتي إحصائياً على مستوى القواطع والضواحك والأرحة العلوية، وتمثل ذلك بزيادة البعد بين النقاط المرجعية على الأسنان المدروسة والمستوى الأفقي المرجعي (مستوى فرانكفورت FH). إن التبزيع البسيط الحاصل في دراستنا الحالية ناجم عن الإمالة الوحشية المراقبة لحركة الإرجاع الوحشي للضواحك والأرحة العلوية، مما يجعل النقاط المرجعية على الأسنان المدروسة تبتعد خطياً عن مستوى فرانكفورت الأفقي FH وبالتالي زيادة المسافة بين النقاط المرجعية على الأسنان المدروسة ومستوى فرانكفورت FH.

اتفقنا مع دراسة Kircelli وزملاه التي سجلت حدوث تبزيع بسيط وغير ذاتي إحصائياً على مستوى الضواحك والرحي الأولى العلوية (Kircelli et al., 2006). اتفقت النتائج أيضاً مع دراسة Escobar وزملاه من حيث حدوث تبزيع غير ذاتي إحصائياً تالي للإرجاع الوحشي للأرحة العلوية، وذلك على مستوى القواطع والضواحك الثانية والأرحة الأولى العلوية (Escobar et al., 2007)، بينما اختلفت النتائج الحالية مع دراسة Oncag وزملاه الذي سجل حدوث غرز غير ذاتي إحصائياً بالنسبة لمجموعة نوابض جهاز Pendulum المدعومة بزرعية حنكية (Oncag et al., 2007)، أيضاً اختلفنا مع دراسة الباحثان Kircali و Yuksel (Kircali and Yuksel, 2018) حيث سبب اختلاف النتائج مع دراسة Oncag وزملاه ودراسة Kircali و Yuksel إلى اختلاف موقع النقاط المرجعية على الأسنان المدروسة، حيث اعتمدت الدراسات السابقتان على النقطة الأكثر تحدباً على السطح الوحشي للضواحك والأرحة العلوية، بينما اعتمدت النقاط على ذرا الحدبات الإطباقية كنقط مرجعية في

الدراسة الحالية، وإن حركة الإملالة الوحشية المُرافقة للإرجاع الوحشي تجعل السطح الإطباقي يبتعد خطياً عن المستوى الأفقي المرجعي بينما يقترب السطح الوحشي خطياً من المستوى الأفقي المرجعي.

:Conclusion

1. يستطيع جهاز Pendulum المدعوم بالزرיעات أن يؤمن الحركة الوحشية للأرحة الأولى العلوية بالرغم من وجود الأرحة الثانية العلوية مكتملة البزوغ.
2. تترافق الحركة الوحشية للأرحة العلوية عند استخدام جهاز Pendulum المدعوم بالزريعات مع مقدار مقبول من الإملالة الوحشية، وتساهم هذه الحركة الوحشية مع الميلان في تصحيح العلاقة الروحية من الصنف الثاني.
3. حدوث حركة وحشية للضواحك الأولى والثانية العلوية مع مقدار طفيف من الإملالة الوحشية بعد الإرجاع الوحشي للأرحة العلوية باستخدام الجهاز المشمول في البحث وذلك نتيجة شد الألياف الرباطية المُعترضة.
4. عدم حدوث خسارة في الدعم على مستوى الضواحك العلوية أثناء الإرجاع الوحشي للأرحة العلوية باستخدام جهاز Pendulum المدعوم بالزريعات.

:Recommendations

1. إعطاء المعالجات التقويمية اللاقعية أهمية أكبر بين الممارسين السريريين.
 2. استخدام جهاز Pendulum المدعوم بالزريعات لإرجاع الأرحة العلوية مع ضبط الميكانيك الحيوي للنابض من خلال إضافة معلومات Tip forward بمقدار 15° درجة و Toe-in بمقدار 10° درجة بهدف تجنب الإملالة والانفتال غير المرغوبين أثناء الإرجاع الوحشي للأرحة العلوية.
 3. تطبيق الزريعت التقويمية في قبة الحنك لدعم أجهزة الإرجاع العلوية بهدف تجنب ردود الفعل غير المرغوبة على وحدة الدعم.
- تعرض الأشكال السريرية التالية من (11) إلى (17) حالة سريرية قبل وبعد الإرجاع الوحشي للأرحة العلوية باستخدام جهاز Pendulum المدعوم بالزريعات.



الشكل (11): صورة إطباقية للحالة
الشكل (12) صورة إطباقية بعد تطبيق جهاز Pendulum المدعوم بالزريعات
الشكل (13): صورة إطباقية بعد قلب البدء بالمعالجة



الشكل (15): صورة جانبية للحالة بعد
الإرجاع الوحشي للأرحاء العلوية

الشكل (14): صورة جانبية للحالة
قبل البدء بالمعالجة



الشكل (17): صورة جانبية للحالة بعد
الإرجاع الوحشي للأرحاء العلوية

الشكل (16): صورة جانبية للحالة
قبل البدء بالمعالجة

8. المراجع :References

1. Alexander S. Diagnosis and treatment planning in orthodontics. Current opinion in dentistry. 1992;2:9–13.
2. Bechtold TE, Kim J-W, Choi T-H, Park Y-C, Lee K-J. Distalization pattern of the maxillary arch depending on the number of orthodontic miniscrews. The Angle Orthodontist. 2013;83(2):266–73.
3. Bolla E, Muratore F, Carano A, Bowman SJ. Evaluation of maxillary molar distalization with the distal jet: a comparison with other contemporary methods. The angle orthodontist. 2002;72(5):481–94.
4. Burstone C. Contemporary management of Class II malocclusions: fact and fiction in Class II correction. Biomechanics in clinical orthodontics Philadelphia: WB Saunders. 1997:246–56.
5. Chaqués-Asensi J, Kalra V. Effects of the pendulum appliance on the dentofacial complex. Journal of clinical orthodontics: JCO. 2001;35(4):254–7.
6. Dahlberg G. Statistical methods for medical and biological students. 1940.